

II-137 セキ越流・境界層内のフロックの流れ

大阪工業大 正員 木原 敏

沈殿池の効率が著しく大きくなり、滞留時間が10分前後の極めて容量の小さい池で沈殿池が出現していくと、流入・流出部の構造の占める容量が無視できなくなる。これらの部分の設計は沈殿池全体をコンパクト化する上にも重要であるが、沈降部を理想的な水理的条件に近づける上に大助である。

沈殿池の浮遊性固形物質は、その流出端のトラフやセキの近傍で吸上効果により吸引されていく。この領域では、流出渠への求心状の吸引効果が卓越しており、浮遊物質の去就を論じる上には重要な問題である。

ここで取扱うのは図1に示すような、充分に流出渠に近く、セキ越流頂点Oを中心とする求心流れと、セキ板面のマツツについて、一定の境界層が存在するときのフロックの流れを考慮する。

1. セキ板(壁)から充分に離れており、越流頂点近傍の求心流れ中の一般的なフロックの運動

——いわゆる境界層外の流れ——

$$\text{図1より}, \quad dr = W_i(\sin \theta) dt - U_r dt \quad \dots \dots (1)$$

$$ds = r \cdot d\theta = W_i(\cos \theta) dt \quad \dots \dots (2)$$

$$U_r = g / r \theta_0 \quad \dots \dots (3)$$

g : 沈殿池単位幅当たり流量、 Q/B , (Q : 沈殿池流量, B : 沈殿池幅(cm))

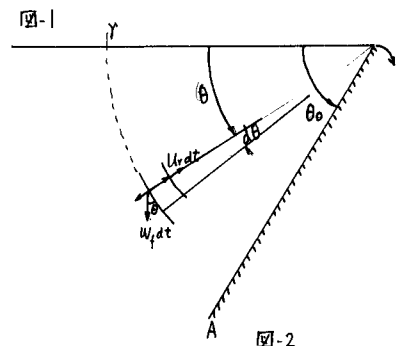
(1)(2)(3)より、

$$dr / (W_i \sin \theta - U_r) = r d\theta / W_i \cos \theta \quad \dots \dots (4)$$

$\theta = \theta_0$, $r = r_0$ にて(4)の解を得る。

$$r = \left[\left\{ (g/W_i) (1 - \theta/\theta_0) \right\} + r_0 \cos \theta_0 \right] / \cos \theta \quad \dots \dots (5)$$

r_0 はセキ板(壁)面 (OA 上)にフロックが到達したときの O よりの位置を表す。



2 セキ板(壁)斜面上のフロックの滑動条件 (斜面上のフロックの力の釣合)

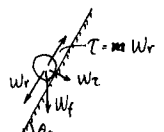
(1) フロックが斜面上に静止する条件

$$f_r = W_r + m W_T \quad \dots \dots (6), \quad m: フロックとセキ板とのマツツ係数, \quad W_r: 斜面に沿うフロックの重力 W_f の分力, \quad W_T: 同. 法向分力$$

$$f_{c1} = 18 \mu \left(\frac{W_f}{W_r} \right) \left\{ \frac{g}{\theta_0} g \phi_i (P_f - P_0) (\sin \theta_0 + m \cos \theta_0) \right\} \quad \dots \dots (7)$$

(2) フロックが斜面上を滑落する条件

$$f_r + m W_T \leq W_r \quad \dots \dots (8), \quad f_{c2} = 18 \mu \left(\frac{W_f}{W_r} \right) \left\{ \frac{g}{\theta_0} g \phi_i (P_f - P_0) (\sin \theta_0 - m \cos \theta_0) \right\} \quad \dots \dots (9)$$



3 セキ越流部の境界層内の流速分布

セキ板のマツツによる境界層は、一般に知られていて平行流れ中の平板に生じる境界層と状況を異にしている。筆者は水素気泡発生機を用いて水理模型より流速分布を測定した。

その結果、境界層の厚さ dr は O から距離 y に一次的に比例し、(10)のようである。

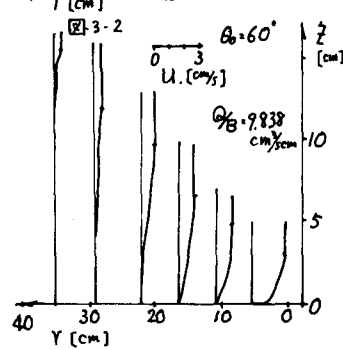
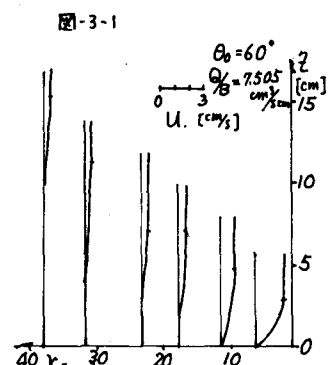
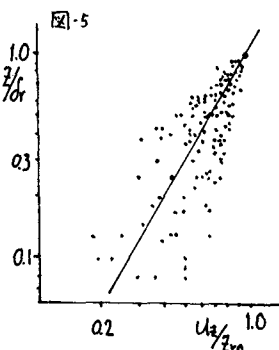
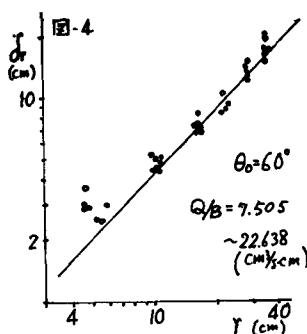
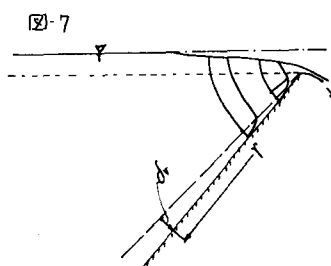
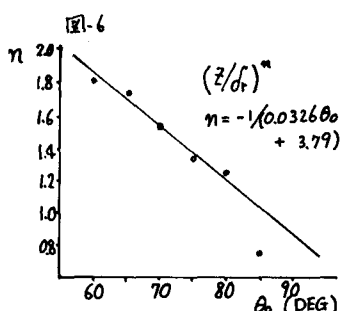
$$dr = (0.04\theta_0 - 2.37) y \quad \dots \dots (10), \quad (U_{rz} / U_{ro}) = (z/d)^{(-1/0.0326\theta_0 + 3.79)} \quad \dots \dots (11)$$

測定値の一例を図3に示すと図3のようである。

図3で、 y が小さくない、頂点 O に近くは、 dr はやや大きい値を示すが、これは、セキの越流水深が 0 ではないことから生じてゐると思われるが、その影響を考慮して解は得られている。

又、流速分布の変化点、すなはち境界層厚さ dr を示す点の判断にも、特に注意を持つべきであるので、若干の

バラ仕引き込みにて。



4 境界層内のフローツの流れ

境界層内のフロックに対して

$$W_i dt \cdot \sin \theta - U r z dt = dV \quad \{ \quad \dots \quad (12)$$

$$dr/(W_i \sin \theta - U r z) = r d\theta / W_i \cos \theta \quad \dots \dots \dots (13)$$

$$U_{\text{ext}} = U_{\text{ext}}(z/\delta_r)^{1/m} \quad \dots \quad (4)$$

$$\sum_{i=1}^n \sum_{j=1}^{m_i} \partial_i u_j = \partial_i v_0 \quad (2) \quad (67)$$

$$\int r = m' r \quad \dots \dots \dots (5)$$

drap'小忍<是近似的>

$$U_{r_0} \cong U_r = Q/B^{V\theta_0} \quad \dots \dots \dots \quad (16)$$

θο^ν θειαίς οὐκέπιται

$$(\theta_0 - \theta)^\dagger \cong z + \bar{z}.$$

$$(13) \frac{d\theta}{dt} = \frac{r d\theta / W_i \cos \theta}{f W_i \sin \theta - U_{vo} (z/dt)^{1/m}} \quad \dots \quad (18)$$

$$(18) \rightarrow (15) (17) \text{ 及 } (19)$$

$$dr / \int W_0 \sin \theta - \frac{Q((\theta_0 - \theta)^{1/m})}{W_0 \cos \theta} = r d\theta / W_0 \cos \theta \quad \dots (19)$$

(2) (1) 塗墨層の 7 日後の一般的な流れを示す(図 2)

(2) 關稅局第 111 月 日本特許公會向兩部發去

二、昭和二十六年一月 日本工業園水研究会と日本研究会合議會

境界層内にトレーサ(P_s)を入れて、流れを追跡すると、実験の結果と比較的よく一致した。ただし、凹頂の松山側で、吸上げ力がやや卓越してしまった。これは先述の越流水深が存在することにより、壁界層厚さ δ_r が $r \rightarrow 0$ の近傍でやや大きくなっているものであらうと思われた。今後、この越流水深を考慮して吹上げ流れを検討する予定である。

5. 最後：

セキの頂点近傍でのフロックの流れについて一々の解を得た。この結果は今後、中間トラフや、端末セキの設計に対するセキ負荷を考慮する上に結びついてゆきたい。セキの前にバーフルで仕切るときも改善されたことばかり。